

# I - 4 亂したシラスのセん断特性について —主として見かけの粘着力の考え方について—

宮崎大学工学部 正員 ○藤木 廉  
学生 香月 正直  
" 宮崎 明  
" 大塚 龍亮

## 1. まえがき

昨秋、土質工学会の“砂質土に関する土質力学上の諸問題”シンポジウムで、シラスのセん断強度特性に関する問題点について筆者の見解とその実験的検証の結果を発表した。<sup>1)</sup> その要旨は、従来のシラスの土質工学的性質についての記述で、との指數的性質と力学的性質との間に矛盾をもつた事と、いうか統一的な相関性のある説明がなされない事とに着目された問題、つまり、非排水条件の直接せん断試験や三軸圧縮試験で求められる見かけの粘着力 $C_u$ が、ふつうの粘性土にみられる土粒子表面の界面現象に由来するものや $c$ を cohesion とは異なり、どちらかといえばむしろ物理的な原因、すなわち、(1)シラス層は一般的にその粒度に応じた限界間隙比以下の密な状態で堆積しているとの推定から、上記 $C_u$ はせん断中ににおけるダイレイタンシー効果(二つ場合、正の体積変化)に起因する負の間隙圧(アフション)による部分と、(2)シラス独特の粒子の多様性や偏平性に起因するインターロッキングによる部分とからで形成が構成されているのではないか、という事であつた。当時、この仮説は(1)に主体をおき、その結果、シラスの破壊時の<sup>2)</sup>せん断強さでは、粒子のインターロッキングによる抵抗を含めたダイレイタンシーにもとづく有効応力 $\sigma'_e$ の増加に起因する内部摩擦抵抗の増大、つまり

$$\tau_f = C_{uf} + \alpha_{uf} \tan \phi_{uf} = U_f \tan \phi_{uf} + \alpha_{uf} \tan \phi_{uf} = (U_f + \alpha_{uf}) \tan \phi_{uf} \quad (1)$$

が説明可能であるとしておいた。なお、シラスのせん断強さが、含水比が30~40%になると急に低下するといわれていることに對しては、自然間隙比からみてその含水比でちょうど飽和状態にあるからアフションが低下することに由来するものであると説明した。これらの考察過程の合理性は一応実験的にも確かめておいたつもりではいたが、(1)と(2)の要因のうち、いずれが真に主因となるのかといった点については、明確な説明をつけるる定量的な資料を提示できる段階にまで到達していなかった。

一方、上記の考え方に対する、シンポジウムの席で、三笠教授から、 $C_u$ の大きさからみてサクションよりもインターロッキングに主因を求めた方が合理的ではないかという承認を受けられ、また川上助教授からは、乱さない自然成層試料と乱した試料との間の $C_u$ の差異は、粘土のシエントロピーに相当するような構造上の変化を考慮する必要があるのではないか、という指摘もあつた。これらの方々の指摘はすべてもともと筆者であったので、その後、筆者は主に三笠教授の示唆にもとづいてサクションとインターロッキングとの定量的な分離計測ということに主眼をおいて実験を継続してきた。川上助教授の指摘については、現地における自然試料のせん断試験結果との関連性もあり、また、春山氏<sup>3)</sup>らに山内助教授が推論されておられるように地質学的な堆積過程における熱的あるいは化学的なセメント

チングの機構や程度をも考慮する必要があるが、この方面については現在まだ未検討のまゝである。したがって本文では、主として上述のインターロックイングの定量的な表示法、セン断時の供試体からの排水条件を変えて行なった三軸圧縮試験値の比較検討により試せようとした実験的考察について説明する。

## 2. 実験方法

この実験に使用したシラス試料ならびに他の砂質試料は、すべて、この講演概要集の著者の別の論文“砂質土の三軸圧縮試験値の取扱い方について”に掲載されているものと同様であるので、その詳細はこゝでは省略する。

三軸圧縮試験は、(A) 排水試験(記号、Dテスト)、セン断中の供試体の体積変化計測、(B) 非排水試験(記号、Uテスト)、セン断中の間隙水圧計測、の2テストシリーズを併用して飽和試料について行なった。体積変化は供試体下部のポーラス・ストーンを通じてビニール袋中の水位の変化により計測し、間隙水圧は底部のポーラス・ストーンを経てN.G.I.型間隙水圧計測装置で測定した。供試体は予定した乾燥密度と間隙比に沿うように予め計量した乾燥試料を、三軸室内にセットしたニッケルモールドを用いて水締めの要領で径5cm、高さ12cmにコンパクトしてつくった。セン断中のセル压値は何れも一定で、0.5, 1.0, 1.5, 2.0, 3.0 kg/cm<sup>2</sup>とした。圧縮速度は定ひずみ式ですべて0.85%/分である。

## 3. 実験結果の考察

### 3-1. ダイレイタニシーとインターロックイングについて

砂質土のセン断強さにインターロックイングを含めたダイレイタニシー効果が強く影響していることは現在常識的にはなっている。乱したシラスの場合も、これらの要因にそのセン断強さが大きく左右されるることは否定できないようである。しかし、インターロックイングとダイレイタニシーとの相関性は、現在定性的にその相乗的な關係が説明されていないのが、両者を定量的に区別して考えるといふことは行なわれていないので。例えば、赤井教授はダイレイタニシーの定量的な表示として次式をあげておられるが、インターロックイングが3語はその際一語もさされていない。

$$(\sigma - \sigma_3)_f = (\sigma - \sigma_3)_{rf} + \left( \frac{d\sigma}{de} \right)_{max} \sigma_3 \quad (1)$$

ここで、 $(\sigma - \sigma_3)_f$  は供試体破壊時の軸差応力、 $(\sigma - \sigma_3)_{rf}$  は供試体の粘着力と内部摩擦抵抗とだけに打ちかかっている軸差応力部分、 $\left( \frac{d\sigma}{de} \right)_{max} \sigma_3 = [d(\sigma V/V)/de]_{max} \sigma_3$  はセル压値に対するなされた体積変化( $\Delta V/V$ )の外的仕事量の単位ヒズミにおける増分である。因みに赤井教授は、 $d\sigma/d\epsilon$ を dilatancy index と称している。これに対し Rowe, P.W. は応力ヒズミ $\epsilon$ とダイレイタニシーの關係を、インターロックイングの影響を考慮して(2)式で表はしているが、その考慮の程度もまたインターロックイングの考え方そのものもありである。

$$\frac{\Delta \sigma}{\sigma_3} = \tan^2(45^\circ + \frac{\phi_u}{2})(1 + \frac{d\frac{\Delta V}{V}}{de}) \quad (2)$$

こゝに中は粒子周の既存の摩擦抵抗角と Rowe はより定義されている。

しかも、これらの考え方間に共通していることは、いずれも例の Coulomb のセン断抵抗式

$$\tau = C_d + \alpha \tan \phi_d \quad (3)$$

との関連性について説明がなされていながらことである。このような傾向は Skempton, A. W. の体積変化に対する考え方においても同様に示される。もっとも、ダイレイターンシー・インターロッキングの関係については、もし粒子表面の性状が全く同一で單に粒子形状が異なる場合を考慮すると、図 1 からわかるように、インター ロッキングの程度が高いもの程ダイレイターンシ 一効果が大きいことは見えるわけであるが、しかし、その影響が Coulomb のセニ断抵抗式(3)において、 $C_d$  の項に現われるかが  $\phi_d$  の項に現われるかと云つた点になると明確に断定できない。

したがって、比較的には、有効応力即粒子間応力という概念規定にもとづけば、インター ロッキングの影響は  $C_d$  の項に強く現われるのではないかとも考えられる。

### 3-2. シラスの見かけの粘着力とインター ロッキング

図 2-a), -b) はシラスと豊浦砂の U テスト ト ならびに D テストによる応力-ヒズミ-体積変化-間隙水圧の変動関係を示したものである。兩者とも、間隙水圧の変動状態と体積変化の変動状態とが比較的よく対応している。また、 $(\Delta\sigma/\Delta\varepsilon)_{max}$  と  $(\Delta\sigma/\Delta\varepsilon')_{max}$  とのヒズミも完全に一致しているので破壊変形はこれで採用しても別々不都合は生じない。これらよりの図から、シラスの破壊時ににおける間隙水圧の減少程度は豊浦砂に比較してそれ程大きくなかったことがわかる。つまゝ、先に予測した程にはサクションが大きくなつたことが云える。

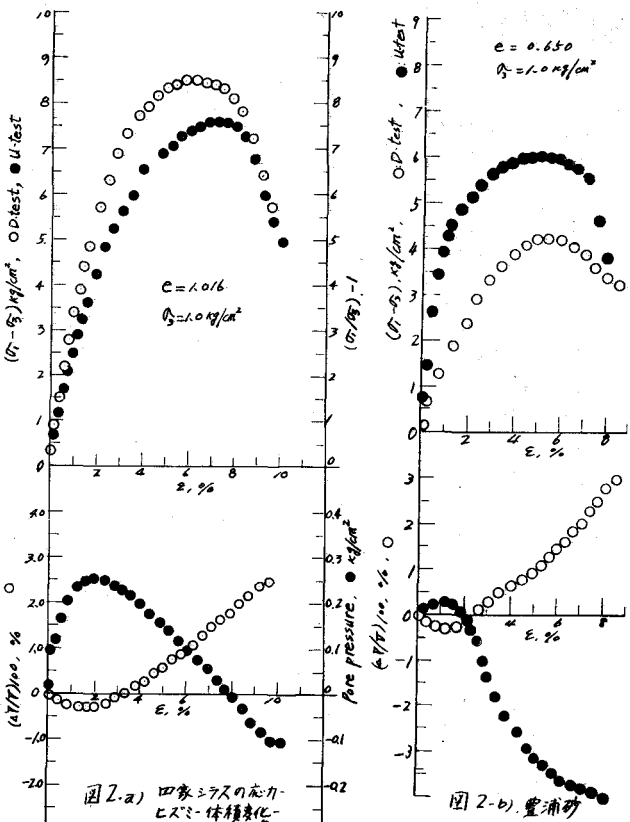
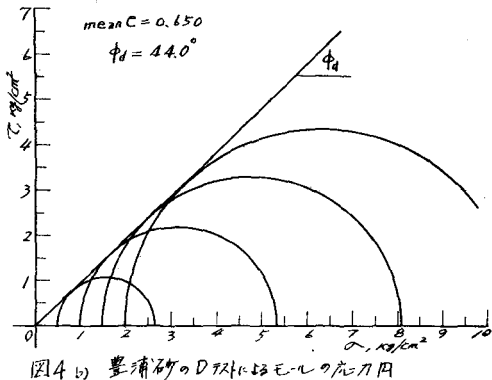
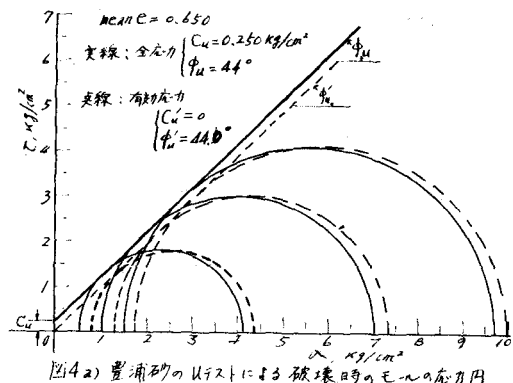
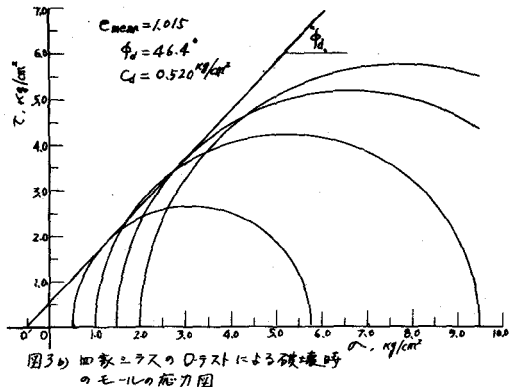
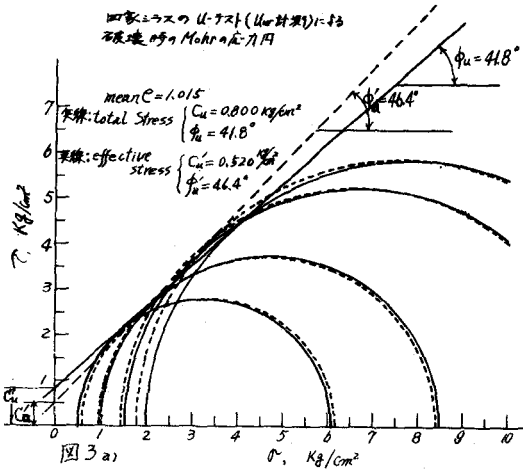


図 3-a), -b) および図 4-a), -b) は両試料の U テストによるモールの応力円と D テストによる同じく破壊時のモールの応力円とである。図 3 には有効応力表示によるモール円と実験で描いてある。図 4 は豊浦砂の場合、全応力表示のモール円のエンビローブで求められる  $C_u$  とセニ断抵抗角  $\phi_u$  はそれぞれ  $0.260 \text{ kg}/\text{cm}^2 \times 44^\circ$  であるが、有効応力表示によるエンビローブでは  $C'_u = 0$ ,  $\phi'_u = 44^\circ (= \phi_u)$  となる  $\phi_u$  には変化がない。一般に、特に砂質土においては、D テストによつて求めた  $\phi_u$  と U テストの有効応力表示による  $\phi_u$  とは殆んど一致すると考えられており、これらの実験結果に誤りはないものと見てよからう。豊浦砂はシラスに比較



L T 粒形が球形に近く、図 1-b) に相当する 3 の U-テストによる強度は小さく、しかも計算による隙水圧はすべて負値となるところから、図 3 の  $C_u$  はサブショットに起因するものと判断してよがる。これに対し、シラスでは U-テストによる  $C_u$ ,  $\phi'_u$  と D-テストによる  $C_d$ ,  $\phi_d$  とが殆んど一致しているので、上記のことを考慮すれば  $C'_u = C_d$  は U-テストによるロッキングに起因するものと判断される。つまり、シラスの  $C_u = 0.800 \text{ kg/cm}^2$  はサブショットに起因する成分  $C_u - C'_u = 0.280 \text{ kg/cm}^2$  と U-ロッキングに起因する成分  $C'_u = C_d = 0.520 \text{ kg/cm}^2$  から成るもう一つの要素である。

#### 4. 結論

文献 1) で著者によつて示された強度特性としての見かけの粘着力が U-テストによる場合はその大部分が U-ロッキングによる成分と U-ロッキングによる成分とから構成されるであろうとの予測が考察と進められたが、その後の実験で後者による成分が著しく多くなることが判明したことは、確認することができた。現在、この点に関する数式化を検討中である。

(文献)

1) 藤本 康一: 土の力学的性質特性 (理学研究の一つ) 土の力学的研究の一)

2) 藤本 康一: 土の力学的性質特性 (理学研究の一つ) 土の力学的研究の一)

3) 藤本 康一: 土の力学的性質特性 (理学研究の一つ) 土の力学的研究の一)

4) Rowe, P.W.: Stress-Dilatancy, Earth Pressure, and Slopes, Proc. ASCE, vol. 87, No. SM3, 1963.

5) Skempton, A.W.: The Pre-Pressure Coefficient in Saturated Soil, Geotechnique, Vol. 10, No. 4, 1960.